



FTR - Flight Test Report

Dieser Prüfbericht darf ohne schriftliche Zustimmung der EAPR nicht, auch nicht auszugsweise, vervielfältigt werden.

Costruttore	 Fly Market GmbH & Co. KG Am Schönebach 3 D-87637 Eisenberg	N° test	EAPR-GS-0270/14
		numero di serie	2k14-c2-28-5-55
Modello	Crossalps L	Luogo	Achensee
			Rofan, Achensee



Rev. 2.1 - 06.03.2014
 EAPR GmbH - Marktstr. 11
 D-87730 Bad Grönenbach - Germany

Data del test	29.08.2014	Peso minimo al decollo 100 kg	Peso massimo al decollo 120 kg
Test pilot	Mario Eder		Anselm Rauh
Selletta	EAPR Testgurtzeug		EAPR schwer
Peso totale al decollo		102 kg	120 kg

Classificazione	C
-----------------	---



Criteria del test	Peso minimo al decollo	Valutazione	Peso massimo al decollo	Valutazione
1. Gonfiaggio/decollo - 4.1.1				
Comportamento nel gonfiaggio	Gonfiaggio dolce, facile e progressivo	A	Gonfiaggio dolce, facile e progressivo	A
Tecnica specifica richiesta per il decollo	No	A	No	A
2. Atterraggio - 4.1.2				
Tecnica specifica richiesta per l'atterraggio	No	A	No	A
3. Velocità nel volo rettilineo - 4.1.3				
Velocità di trim superiore a 30 km/h	Si	A	Si	A
Velocità a freni completamente abbassati superiore a 10 km/h	Si	A	Si	A
Velocità minima	compreso fra 25km/h e 30 km/h	B	inferiore a 25 km/h	A
4. Controllo del punto di stallo dichiarato dal costruttore - 4.1.4				
Peso massimo in volo fino a 80 kg		-		-
Peso massimo in volo da 80 kg a 100 kg	Crescente 45cm - 60cm	C		-
Peso massimo in volo superiore a 100 kg		-	Crescente 50cm - 65cm	C
5. Stabilità sull'asse di beccheggio in uscita dal volo accelerato - 4.1.5				
Angolo di picchiata in uscita	Picchiata inferiore a 30°	A	Picchiata inferiore a 30°	A
Consequente chiusura	No	A	No	A
6. Stabilità sull'asse di beccheggio agendo sui comandi nel volo accelerato - 4.1.6				
Consequente chiusura	No	A	No	A
7. Stabilità sull'asse di rollio e smorzamento - 4.1.7				
Oscillazioni	Si autostabilizza	A	Si autostabilizza	A
8. Stabilità in spirale neutra - 4.1.8				
Tendenza a riprendere il normale assetto di volo	Uscita spontanea	A	Uscita spontanea	A
9. Comportamento durante una brusca inversione di 360° - 4.1.9				
Tasso di caduta dopo due virate	compresa fra 12 m/s e 14 m/s	A	superiore a 14 m/s	B
10. Chiusura frontale simmetrica - 4.1.10				
Ingresso	Arretra meno di 45°	A	Arretra meno di 45°	A
Uscita	Spontaneo in meno di 3 sec.	A	Spontaneo in meno di 3 sec.	A
Angolo di picchiata in uscita	30° - 60° Mantiene la traiettoria di volo	B	30° - 60° Mantiene la traiettoria di volo	B
Consequente cascata di configurazioni	No	A	No	A
Ingresso	Arretra meno di 45°	A	Arretra meno di 45°	A
Uscita	Spontaneo in meno di 3 sec.	A	Spontaneo in meno di 3 sec.	A
Angolo di picchiata in uscita	30° - 60° Mantiene la traiettoria di volo	B	30° - 60° Rotazione inferiore a 90°	B
Consequente cascata di configurazioni	No	A	No	A
11. Uscita dallo stallo paracadutale - 4.1.11				

Fase paracadutale raggiungibile		Si		Si			
Uscita		Spontaneo in meno di 3 sec.		A		Spontaneo in meno di 3 sec.	
Angolo di picchiata in uscita		0° - 30°		A		0° - 30°	
Cambio di direzione		Cambio di direzione inferiore a 45°		A		Cambio di direzione inferiore a 45°	
Consequente cascata di configurazioni		No		A		No	
12. Uscita da uno stallo di B rilasciato molto lentamente - 4.1.12							
Uscita		Spontaneo in meno di 3 sec.		A		Spontaneo in meno di 3 sec.	
Consequente cascata di configurazioni		No		A		No	
13. Uscita da uno stallo simmetrico trattenuto (post stallo) - 4.1.13							
Angolo di picchiata in uscita		0° - 30°		A		30° - 60°	
Chiusura		Senza conseguente chiusura		A		Senza conseguente chiusura	
Consequente cascata di configurazioni		No		A		No	
Oscilla indietro		Inferiore a 45°		A		Inferiore a 45°	
Tensione delle linee		Tensione della maggior parte delle linee		A		Tensione della maggior parte delle linee	
14. Chiusura asimmetrica - 4.1.14							
Cambio di direzione prima della riapertura		< 90°		Angolo di picchiata o di rotazione compreso entro		15° - 45°	
Comportamento nella riapertura		Riapertura spontanea		A		Riapertura spontanea	
Variazione totale della direzione		Inferiore a 360°		A		Inferiore a 360°	
Consequente chiusura della semiala opposta		No		A		No	
Consequente twist		No		A		No	
Consequente cascata di configurazioni		No		A		No	
Cambio di direzione prima della riapertura		< 90°		Angolo di picchiata o di rotazione compreso entro		15° - 45°	
Comportamento nella riapertura		Riapertura spontanea		A		Riapertura spontanea	
Variazione totale della direzione		Inferiore a 360°		A		Inferiore a 360°	
Consequente chiusura della semiala opposta		No		A		No	
Consequente twist		No		A		No	
Consequente cascata di configurazioni		No		A		No	
Cambio di direzione prima della riapertura		< 90°		Angolo di picchiata o di rotazione compreso entro		15° - 45°	
Comportamento nella riapertura		Riapertura spontanea		A		Riapertura spontanea	
Variazione totale della direzione		Inferiore a 360°		A		Inferiore a 360°	
Consequente chiusura della semiala opposta		No		A		No	
Consequente twist		No		A		No	
Consequente cascata di configurazioni		No		A		No	
Cambio di direzione prima della riapertura		< 90°		Angolo di picchiata o di rotazione compreso entro		15° - 45°	
Comportamento nella riapertura		Riapertura spontanea		A		Riapertura spontanea	
Variazione totale della direzione		Inferiore a 360°		A		Inferiore a 360°	
Consequente chiusura della semiala opposta		No		A		No	
Consequente twist		No		A		No	
Consequente cascata di configurazioni		No		A		No	
Cambio di direzione prima della riapertura		< 90°		Angolo di picchiata o di rotazione compreso entro		45° - 60°	
Comportamento nella riapertura		Riapertura spontanea		A		Riapertura spontanea	
Variazione totale della direzione		Inferiore a 360°		A		Inferiore a 360°	
Consequente chiusura della semiala opposta		Si, senza rotazione		C		No	
Consequente twist		No		A		No	
Consequente cascata di configurazioni		No		A		No	
15. Cambio di direzione in seguito a una chiusura asimmetrica trattenuta - 4.1.15							
Capacità a mantenere il volo rettilineo		Si		A		Si	
Rotazione di 180° in 10 sec. dalla parte opposta alla chiusura		Si		A		Si	
Differenza di trazione del comando fra la virata, lo stallo e la vite piatta negativa		Trazione simmetrica dei freni superiore al 50%		A		Trazione simmetrica dei freni superiore al 50%	
16. Tendenza al negativo a velocità di trim - 4.1.16							
Consequente vite piatta negativa		No		A		No	
17. Tendenza al negativo alle basse velocità - 4.1.17							
Consequente vite piatta negativa		No		A		No	
18. Uscita da una vite piatta negativa - 4.1.18							
Angolo di rotazione in vite piatta negativa dopo il rilascio del comando		Esce dalla spirale in meno di 90°		A		Esce dalla spirale in meno di 90°	
Consequente cascata di configurazioni		No		A		No	
19. Stallo di B - 4.1.19							
Cambiamento di direzione dopo il rilascio		Cambio di direzione inferiore a 45°		A		Cambio di direzione inferiore a 45°	
Comportamento prima del rilascio		Mantiene la stabilità senza alcuna deformazione del profilo		A		Mantiene la stabilità senza alcuna deformazione del profilo	
Uscita		Spontaneo in meno di 3 sec.		A		Spontaneo in meno di 3 sec.	
Angolo di picchiata in uscita		0° - 30°		A		30° - 60°	
Consequente cascata di configurazioni		No		A		No	
20. Grandi orecchie - 4.1.20							
Procedura d'ingresso		Sistemi di controllo dedicati		A		Sistemi di controllo dedicati	
Comportamento durante le grandi orecchie		Volo stabile		A		Volo stabile	
Uscita		Uscita con l'intervento del pilota in meno di 3 sec.		B		Uscita con l'intervento del pilota in meno di 3 sec.	
Angolo di picchiata in uscita		0° - 30°		A		0° bis 30°	
21. Grandi orecchie con acceleratore - 4.1.21							
Procedura d'ingresso		Sistemi di controllo dedicati		A		Sistemi di controllo dedicati	
Comportamento durante le grandi orecchie		Volo stabile		A		Volo stabile	
Uscita		Uscita con l'intervento del pilota in meno di 3 sec.		B		Uscita con l'intervento del pilota in meno di 3 sec.	
Angolo di picchiata in uscita		0° - 30°		A		0° bis 30°	
Comportamento durante le grandi orecchie trattenute dopo il rilascio dell'acceleratore		Volo stabile		A		Volo stabile	
22. Comportamento in uscita da una spirale stretta - 4.1.22							

Tendenza a riprendere il normale assetto di volo	Uscita spontanea	A	Uscita spontanea	A
Angolo di rotazione per ritrovare il normale assetto di volo	Inferiore a 720°, uscita spontanea	A	Inferiore a 720°, uscita spontanea	A
23. Tecniche alternative di pilotaggio - 4.1.23				
Virata di 180° possibile in 20 sec.	Si	A	Si	A
Consequente vite piatta negativa o stallo	No	A	No	A
24. Altre procedure e/o configurazioni di volo descritte nel manuale d'uso - 4.1.24				
Esecuzione corretta della manovra / manuale		NA		NA
Manovra adatta per i piloti principianti		NA		NA
Consequente cascata di configurazioni		NA		NA
25. Osservazioni del test pilot				
Copyright Ralf Antz 2014	Il rapporto del test di certificazione viene generato automaticamente e non necessita di alcuna firma			